ВЛИЯНИЕ КОРРЕЛЯЦИОННЫХ ФУНКЦИЙ ПОВЕРХНОСТНОГО ВОЛНЕНИЯ НА СРЕДНЮЮ ИНТЕНСИВНОСТЬ НИЗКОЧАСТОТНОГО ЗВУКА В МЕЛКОВОДНОМ ВОЛНОВОДЕ АРКТИЧЕСКОГО ТИПА

Гулин О.Э., Ярощук И.О.

Тихоокеанский океанологический институт им. В.И. Ильичева, г. Владивосток gulinoe@poi.dvo.ru

Несмотря на наличие обширной литературы по проблеме рассеяния волн на шероховатой поверхности [1–6], особенностям затухания средней интенсивности звукового поля, ее флуктуациям (сцинтилляциям) в волноводах с потерями и случайной свободной поверхностью в известных публикациях уделено недостаточно внимания. Можно указать лишь на несколько работ, посвященных модельным вычислениям потерь при распространении, выполненных в рамках методов малых возмущений и плавных возмущений ВКБ для рассматриваемой задачи о мелководном случайно-неоднородном волноводе [5–8]. Предлагаемое исследование выполнено на основе статистического моделирования средней интенсивности звука, а также флуктуаций интенсивности (индекса сцинтилляций) [9, 10].

Рассмотрим аксиально-симметричную постановку задачи: (r,z) — координаты цилиндрической системы, точечный источник излучения расположен в водной среде мелкого моря при r=0, $z=z_0\in(0,H)$. Звуковое поле частоты ω в морском волноводе с шероховатой свободной поверхностью H(r), скоростью звука c(r,z) и плотностью $\rho(r,z)$ описывается линейными уравнениями акустики первого порядка для полей звукового давления p(r,z) и компонент колебательной скорости жидких частиц, w(r,z) — вертикальной и v(r,z) — горизонтальной:

$$\frac{\partial p(r,z)}{\partial z} = i\omega p(r,z)w(r,z) , \quad \frac{\partial p(r,z)}{\partial r} = i\omega p(r,z)v(r,z) ,$$

_____ 343 ______ 3 Секция

$$\rho(r,z) \left[\frac{\partial w(r,z)}{\partial z} + \left(\frac{\partial}{\partial r} + \frac{1}{r} \right) v(r,z) \right] - \frac{i\omega}{c^2(r,z)} p(r,z) = \frac{i\delta(r)\delta(z-z_0)}{\omega r} . \tag{1}$$

Будем рассматривать модель среды волновода, включающую водную толщу, $0 < z \le H(r)$, и подстилающее полупространство жидких осадков, $z \le 0$. К уравнениям (1) формулируются соответствующие граничные условия на поверхности и дне волновода. На свободной неровной поверхности моря p(H(r)) = 0, на донной границе раздела — условие непрерывности давления p(r,+0) = p(r,-0) и нормальной компоненты скорости жидких частиц $v_n = [w^2 + v^2]^{1/2}$. В случае $\rho(r,z) = \rho(z)$ и горизонтальности дна: $v_n(r,+0) = w(r,+0) = w(r,-0)$. Также подразумевается выполнение условий излучения при $r \to \infty$, $z \to -\infty$, что исключает из рассмотрения волны, приходящие из бесконечности. Согласно методу поперечных сечений (локальных мод) [6] решение (1) с озвученными условиями целесообразно искать в низкочастотном диапазоне с помощью сходящихся разложений по локальным модам (в каждом r — сечении):

$$p(r,z) = \sum_{m=1}^{M} G_m(r) \varphi_m(r,z);$$

$$w(r,z) = [i\rho(r,z)\omega]^{-1} \sum_{m=1}^{M} G_m(r) \partial \varphi_m(r,z) / \partial z;$$

$$v(r,z) = [i\rho(r,z)\omega]^{-1} \sum_{m=1}^{M} F_m(r) \varphi_m(r,z).$$
(2)

В (2) под знаками сумм входят модовые амплитуды $G_m(r)$, $F_m(r)$, а также локальные собственные функции $\phi_m(r,z)$ задачи Штурма-Лиувилля. Последние удовлетворяют уравнению Гельмгольца и граничным условиям на поверхности и на дне океана в r -сечениях волновода:

$$\frac{\partial^2}{\partial z^2} \varphi_m(r,z) + \left[k^2 - \kappa_m^2(r) \right] \varphi_m(r,z) = 0 , \qquad \varphi_m(r,H) = 0,$$

$$\varphi_m(r,0) + g_m(r) \varphi_m'(r,0) = 0.$$
(3)

В (3) $\varphi'_m(r,0)=\left(\partial\varphi_m(r,z)/\partial z\right)|_{z=0},\ k=\omega/c$, $\kappa_m(r)$ — собственные значения, $g_m(r)$ характеризует импеданс проницаемого дна в виде

3 Секция _______ 344 ______

поглощающего полупространства осадков при $z \le 0$, а шероховатая поверхность H(r) в общем случае задается ансамблем реализаций случайной функции. Число мод для вычислений, m=1,2..M, из физических соображений всегда ограничено.

В волновой зоне, $|\kappa_m r| >> 1$, вместо векторов $\vec{G}(r) = \{G_m(r)\}^T$, $\vec{F}(r) = \{F_m(r)\}^T$ введем квадратные матрицы (M×M) G(r), F(r) модовых амплитуд, такие, что $\vec{G}(r) = G(r)\vec{b}(L)$, $\vec{F}(r) = F(r)\vec{b}(L)$, $\vec{b}(L)$ — вектор-столбец амплитуд мод, падающих на нерегулярную среду, с элементами $b_m(L) = \phi_m(0,z_0)\kappa_m^{-1/2}(L)\exp[i\kappa_m(L)L]$. На основании (1)—(3) можно сформулировать следующую краевую задачу для уравнений метода поперечных сечений [11]:

$$\frac{\partial G(r)}{\partial r} = F(r) - V(r)G(r), \quad \frac{\partial F(r)}{\partial r} = -\kappa^{2}(r)G(r) + V^{T}(r)F(r), \quad (4a)$$

$$i\kappa(L)G(L) + F(L) = 2i\kappa(L), \quad i\kappa(L_0)G(L_0) - F(L_0) = 0.$$
 (45,b)

Решение задачи (4а-в) осуществлялось на основе переформулировки в причинные уравнения погружения [11, 12] и явной записи вида решения для модовых амплитуд через матрицант. Для проведения численного статистического анализа была осуществлена привязка к значениям параметров, которые характерны для шельфовых зон арктических морей, в частности, районов Карского моря и, в осенний период, шельфа Японского моря. Рассматривался мелководный волновод, в котором происходит распространение тонального звукового сигнала частоты 500 Гц (длина волны $\lambda \approx 2.9$ м). Волновод имеет среднюю глубину $\langle H(r) \rangle = 40$ м, случайно шероховатую поверхность и горизонтальное дно. В водном слое однородные профили скорости звука c = 1460 м/с и плотности $\rho = 1,02$ г/см³. Дно, $z \le 0$, представляет собой жидкое поглощающее полупространство неконсолидированных осадков с показателем преломления на границе раздела вода — дно $n = (c/c_1)(1 + i\beta_1)$. В донных осадках, следуя данным измерений, приведенным в [13, 14], задаем импеданс посредством плотности, ρ_1 = 1,85 г/см³, поглощения $\beta_1 = 0.02 \ (\approx 1 \ \text{дБ/}\lambda)$ и скорости звука c_1 . Шероховатости взволнованной поверхности $\delta h(r)$, $H(r) = \langle H \rangle + \delta h(r)$, полагаем гауссовым случайным процессом с корреляционной функцией: $B_{\rm s}(r_2)$ $-r_1$) = $\sigma_s^2 K(|r_2 - r_1|/L_s)$. Интенсивность флуктуаций $\sigma_s^2 = \langle (\delta h)^2 \rangle$ за-

345 ______ 3 Секция

давалась величиной $\sigma_s^2=1\,\mathrm{m}^2$, так что $\sigma_s\!<\!<\!H$, $\sigma_s\!<\!\lambda$ [12]. Важным параметром является эффективный радиус корреляции случайных неоднородностей L_s . Это — характерный масштаб изменения батиметрии H(r), такой что $L_s\!>\!\lambda$, $L_s\!>\!\sigma_s$. Исходя из известных данных о поверхностном волнении, определим параметры L_s , σ_s . Если частотная спектральная плотность волнения $S(\Omega)$, а $\Omega=(g\kappa)^{1/2}$ — дисперсионное уравнение поверхностных волн, связывающее частоту Ω и волновое число κ , то корреляционная функция $B_s(r)$ следующим образом выражается через пространственную спектральную плотность $G(\kappa)$ [2,6]:

$$G(\kappa) = \frac{\sqrt{g}}{2\kappa\sqrt{\kappa}} S(\sqrt{g\kappa}) R(\kappa, \alpha), \quad B_s(r) = 2\pi \int_0^\infty d\kappa \ \kappa J_0(\kappa r) G(\kappa)$$
 (5)

В (5) g – ускорение свободного падения, $\kappa = (\kappa_x^2 + \kappa_y^2)^{1/2}$ – волновое число, $R(\kappa,\alpha) = b \cos^{\nu(\kappa)}\alpha$ описывает зависимость от направления ветра, b — нормировочная константа, α — угол между направлением ветра и волнения $|\alpha| \le \pi/2$. Далее за основу возьмем процесс с частотным спектром Пирсона-Неймана, который получил широкое распространение в литературе для описания развитого поверхностного волнения [6,8]: $S(\Omega) = S[(g\kappa)^{1/2}] = C(g-1)^{1/2}$ κ)⁻³exp($-2g/(\kappa \upsilon^2)$, υ – скорость ветра в м/с, $C = 2.4 \text{ м}^2/c^5$ – эмпирическая константа. Данному виду частотного спектра соответствует пространственная спектральная плотность $G(\kappa) = C$ $\exp(-2g/(\kappa v^2)R(\kappa,\alpha)g^{-5/2}\kappa^{-9/2})$. Для простоты и усиления статистического эффекта считаем, что угол α равен нулю, тогда $R(\kappa,\alpha)$ = $b = (2\pi)^{-1}$. Согласно (5) корреляционная функция принимает вид: $B_{
m s}(r)=0.5{
m C}g^{-5/2}\!\int_0^\infty\!d\kappa\;\kappa^{-7/2}J_0(\kappa r)e^{-2g/\kappa \upsilon^2}$. Интенсивность флуктуаций $\sigma_s^2 = B_s(0)$ вычисляется через табличный интеграл. Подставив константу C, получим $\sigma_s^2 \approx 3.12 \times 10^{-6} v^5$, то есть, очевидно, что интенсивность флуктуаций, определяется скоростью ветра. Аналогично для частотного спектра Пирсона-Неймана можно определить и эффективный (интегральный) масштаб корреляции $L_s =$ $\int_0^\infty dr {\bf K_s}(r)$, ${\bf K_s}(r)=B_{\rm s}(r)/B_{\rm s}(0).$ На рисунке 1 приведено поведение коэффициента корреляции $K_{\mbox{\tiny c}}(r)$ для развитого волнения в направлении ветра, дующего над поверхностью со скоростью 12,6 м/с. Для данной скорости ветра $\sigma_s^2 \approx 1 \, \text{м}^2$, а масштаб корреляции $L_s \approx 20 \, \text{м}$.

Секция ______ 346 _____

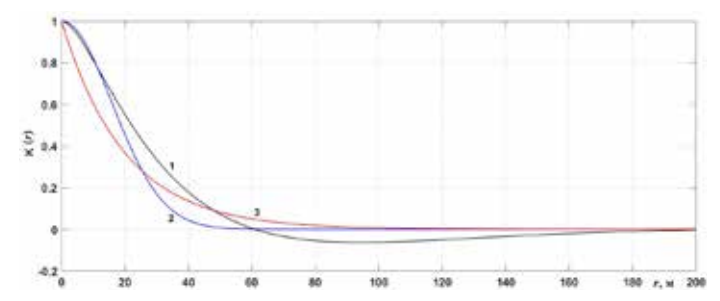
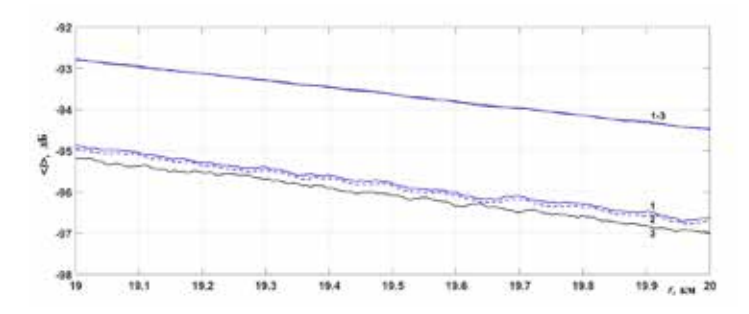


Рис. 1. Коэффициенты корреляции для разных частотных спектров. Кривые: 1 – для спектра Пирсона-Неймана, 2 – гауссова функция корреляции $B_{\rm s}(r)=\sigma_{\rm s}^{\ 2}{\rm exp}[-\pi(r_2-r_1)^2/(4L_{\rm s}^{\ 2})], 3$ – экспоненциальная функция корреляции $B_{\rm s}(r)=\sigma_{\rm s}^{\ 2}{\rm exp}(-|r_2-r_1|/L_{\rm s}).\ L_{\rm s}=20$ м, $\sigma_{\rm s}^{\ 2}=1$ м²

Функции $K_s(r)$, представленные на рисунке 1 с указанными параметрами σ_s^2 и L_s , были использованы для выполнения сравнительных модельных расчетов.

Численное моделирование средней интенсивности и ее флуктуаций было проведено для мелководного волновода с двумя типами донной границы: сильно проницаемой (водоподобного типа), $c_1 = c = 1460 \,\mathrm{m/c}$, и хорошо отражающей $c_1 = 1600 \,\mathrm{m/c}$. На рисунках 2, 3 представлены графики средней интенсивности на финальных участках дистанции, где влияние вида пространственных корреляционных функций волнения максимально.



 $Puc.\ 2.\ 3$ атухание средней интенсивности сигнала 500 Гц в волноводе с взволнованной поверхностью и водоподобным дном для разных функций корреляции поверхностного волнения, $z_0=z=16$ м. Кривые: 1- спектр Пирсона-Неймана; 2 (штрих) - гауссова корреляционная функция; 3- экспоненциальная корреляционная функция. Верхние кривые 1-3- адиабатическое приближение для указанных функций корреляции поверхностного волнения

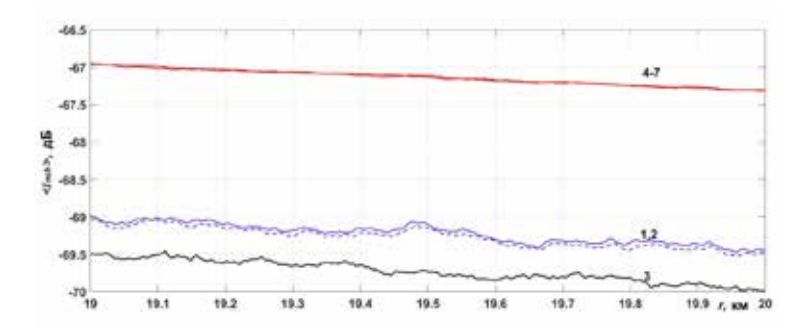


Рис. 3. Затухание средней интенсивности сигнала 500 Гц в волноводе с взволнованной поверхностью и отражающим дном для разных функций корреляции поверхностного волнения, $z_0 = z = 16$ м. Кривые: 1—спектр Пирсона-Неймана; 2 (штрих)—гауссова корреляционная функция; 3— экспоненциальная корреляционная функция. Верхние кривые: 4—6—адиабатическое приближение для указанных функций корреляции поверхностного волнения, 7—волновод с ровной поверхностью

Выводы. Вид корреляционной функции (спектра) поверхностного волнения не оказывает существенного влияния на статистическую картину распространения сигнала в волноводе, и поэтому корреляционная функция может быть выбрана из соображений удобства моделирования. Как и в других задачах, например, при изучении флуктуаций скорости звука в стохастическом волноводе, основную роль играют параметры случайного поля — его интенсивность σ_s^2 и эффективный радиус корреляции L_s , которые, в частности для шероховатой границы, определяются скоростью ветра над поверхностью моря.

Работа выполнена в рамках государственного задания по теме «Изучение природы линейного и нелинейного взаимодействия геосферных полей переходных зон Мирового океана и их последствий», номер гос. регистрации 124022100074-9.

Литература

- 1. Басс Ф.Г., Фукс И.М. Рассеяние волн на статистически неровной поверхности. М.: Наука, 1972.
- 2. Рытов С.М., Кравцов Ю.А., Татарский В.И. Введение в статистическую радиофизику. Т.2. Случайные поля. М.: Наука, 1978.
- Ogilvy J.A. Wave scattering from rough surface // Rep. Prog. Phys. 1987. V. 50. P. 1553-1608.

- Darmon M., Dorval V., Baque F. Acoustic scattering models from rough surfaces: a brief review and recent advances // Appl. Sci. 2020. V. 10 (22). 8305. https://doi. org/10.3390/app10228305.
- 5. Katsnelson B., Petnikov V., Lynch J. Fundamentals of shallow water acoustics. Springer: New York, USA, 2012.
- 6. Бреховских Л.М., Лысанов Ю.П. Теоретические основы акустики океана. М.: Наука, 2007.
- 7. Луньков А.А., Петников В.Г. Влияние случайных гидродинамических неоднородностей на затухание низкочастотного звука в мелком море // Акуст. журн. 2010. Т. 56. № 3. С. 364-372.
- 8. Луньков А.А., Петников В.Г., Черноусов А.Д. Затухание звука на океанском шельфе на небольших расстояниях от источника в присутствии поверхностного волнения // Акуст. журн. 2017. Т. 63, № 2. С. 180-186. https://doi.org/10.7868/S0320791917010087.
- 9. Ярощук И.О., Гулин О.Э. Метод статистического моделирования в задачах гидроакустики. Владивосток: Дальнаука, 2002.
- Gulin O.E., Yaroshchuk I.O. Simulation of underwater acoustical field fluctuations in shallow sea with random inhomogeneities of sound speed: depth-dependent environment // Journ. Comp. Acoust. 2014. V. 22. 1440002. https://doi.org/10.1142/ S0218396X14400025.
- 11. Гулин О.Э. Причинные уравнения первого порядка для моделирования волновых полей в горизонтально-неоднородном океане // Акуст. журн. 2006. Т. 52. № 1. С. 23-29. https://doi.org/10.1134/S1063771006010039.
- 12. Гулин О.Э., Ярощук И.О., Коротченко Р.А. О средней интенсивности поля и отдельных мод низкочастотного звукового сигнала в мелководном волноводе со статистически неровной донной границей // Акуст. журн. 2024. Т. 70. № 4. С. 51-69. https://doi.org/10.31857/S0320791924030019.
- 13. Григорьев В.А., Петников В.Г., Росляков А.Г., Терехина Я.Е. Распространение звука в мелком море с неоднородным газонасыщенным дном // Акуст. журн. 2018. Т. 64. № 3. С. 342-358. https://doi.org/10.7868/S032079191803005X.
- Яшин Д.С., Ким Б.И. Геохимические признаки нефтегазоносности Восточно-Арктического шельфа России // Геология нефти и газа. 2007. Т. 4. С. 25-29.